

نمذجة ومحاكاة نظام ضخ كهروضوئي اعتماداً على خوارزمية الرصد والاضطراب لملاحة نقطة الاستطاعة العظمى MPPT

* د. أحمد كردي

(الإيداع: 19 شباط 2024، القبول: 19 شباط 2023)

الملخص:

لقد ازداد الاهتمام مؤخراً باستخدام أنظمة الضخ الكهروضوئي كونها تقدم حلًّا مناسباً لخفض تكاليف الضخ المائي الذي كان معتمدًا على محركات дизيل.

في هذا المقال نقدم نمذجة ومحاكاة لنظام ضخ كهروضوئي يتضمن محرك تحريري ثلاثي الطور ذو قفص سنجاري، مضخة غاطسة (ESP) Electric Sunmersible Pump تعمل بنظام الطرد المركزي متعددة المراحل، قالبة الكترونية تقوم بتحويل الجهد المستمر القائم من الألواح إلى جهد متقطع بقيم معدلة جيبياً، ودارة متحكم تعمل وفق خوارزمية الرصد والاضطراب (P&O) لملاحة نقطة الاستطاعة العظمى (MPPT) المستجدة من الألواح الكهروضوئية، يطبق خرج المتحكم على خوارزمية ($V/f=const$) التي تولد بدورها نبضات التحكم بالقالبة المغذية لمحرك التحريري.

بما أن شدة السطوع الشمسي ليست ثابتة خلال فترات تشغيل المضخة وإنما متغيرة، فلا بد من نظام ملاحة لتغير الاستطاعة المنتجة من الألواح والمتحركة بحسب شدة السطوع الشمسي والمتمثل بخوارزمية (P&O).

لقد أظهرت نتائج المحاكاة قدرة نظام النظم المقترن على ملاحة الاستطاعة العظمى والمتحركة بحسب شدة السطوع الشمسي مما أعطى أفضل مردود لنظام الضخ خلال مراحل عمله المختلفة. كما أظهرت النتائج أهمية عمل قالبة الجهد بخوارزمية ($V/f=const$)، حيث مكنت نظام الضخ عند مستويات منخفضة من السطوع الشمسي دون سحب تيار زائد، ليبقى المحرك القائد للمضخة في حالة آمان أثناء عمله.

الكلمات المفتاحية: نظام الضخ الكهروضوئي، خوارزمية الرصد والاضطراب، محاكاة الأنظمة الكهروضوئية.

* عضو هيئة تدريسية في قسم تقنيات الحاسوب، الكلية التطبيقية، جامعة حماة

Modeling &Simulation of a Photovoltaic pumping system Based (P&O)

MPPT Algorithm

Dr. Ahmad Kurdi*

(Received: 19 February 2024, Accepted: 4 April 2024)

Abstract:

Recently, the interest of using photoelectric pumping systems has been increased; it provides a suitable solution to reduce the costs of water pumping, which used to rely on diesel engines.

In this article, we present a modeling and simulation of a photovoltaic pumping system that includes a three-phase squirrel-cage induction motor, an ESP (Electric Submersible Pump) which operating with a multi-stage centrifugal system, an electronic converter, that converts the continuous voltage coming from the panels into alternative voltage sinusoidal modified. A controller that works according to Perturbing Observe (P&O) algorithm for tracking the maximum power point (MPPT) extracted from the photovoltaic panels. The controller's output is applied to the ($V/f=\text{const}$) algorithm, which generates control pulses that applied on converter transistor bases, that applied on the induction motor.

.Since, the intensity of solar brightness is not constant during the periods of pump operation, but variable in the time, for that a tracking system must exist to track the change in the power produced by the panels, which varies according to the intensity of solar brightness, which is represented by the (P&O) algorithm.

The simulation results showed the ability of the proposed system to track the maximum and variable power according to the intensity of solar brightness, which gave the best performance of the pumping system during the various stages of its work. The results also showed the importance of working with the voltage regulator ($V/f=\text{const}$) algorithm, as it enabled the pumping system to work at low levels of solar brightness without drawing excessive current, so that the motor driving the pump remains in a safe state.

Keywords: Photovoltaic pumping, P&O Algorithm, Simulation Photovoltaic systems.

1- مقدمة:

لقد توجه الاهتمام مؤخراً نحو استخدام أنظمة الضخ الكهروضوئي نظراً للحاجة الماسة لتشغيل مضخات مياه الري الزراعي بعد الارتفاع الكبير في أسعار وقود дизيل من جهة ، وكونه مصدر أساس للانبعاثات الكربونية من جهة أخرى. هذا التحول في بلدنا (سوريا) قد مر بمرحلة وسيطية في أغلب الحالات عبر تشغيل مضخات المائية من الشبكة الكهربائية العامة، لكن سرعان ما تغير هذا الوضع إلى مرحلة الضخ الكهروضوئي بعد النقص الشديد في انتاج الطاقة الكهربائية من المحطات الكهربائية. وبالتالي أصبح استخدام أنظمة الضخ الكهروضوئية على سلم الأوليات للانتقال للري الحديث للمزروعات، موفراً الحد الأدنى من تكلفة الصيانة مع تكلفة تشغيل صفرية ، بالإضافة إلى التناقص المستمر في الكلفة الأساسية نظراً للانخفاض المستمر في أسعار الألواح الكهروضوئية المنتجة عالمياً. ومع بداية استخدام أنظمة الضخ الكهروضوئي تم اعتماد المحركات التحريرية ذات القفص السنجابي كمحرك قائد للمضخات المائية مع اعتماد خوارزميات قيادة بسيطة بحلقة مفتوحة وفق قانون ($V/f=constant$) ، والتي كانت معتمدة على تغذية المضخات من الشبكة الكهربائية [A].

لقد انتشرت مضخات الغاطسة الكهربائية (ESP) كنوع من مضخات الطرد المركزي متعددة المراحل، حيث تمتاز هذه المضخات بكونها مناسبة للأبار ذات الأعماق المتوسطة والعميقة، كما إنه في المضخات الغاطسة، يكون المحرك والمضخة متصلان داخل البئر كبنية واحدة ، والتي تستخدم في الأبار الارتوازية لأغراض الري، ومحطات معالجة المياه، وحتى الاستخدامات المنزلية. ويكون هذا النوع من المضخات من عدة عنبات (مراوح) Impellers، تعمل على زيادة ضغط الماء بفعل القوة النابذة للحصول على ارتفاع عالي نسبياً. ثُمَّ تُغمِّر المضخة بشكل كامل في الماء، الذي يدوره يعمل على تبريد المحرك الكهربائي ، وبالتالي عدم الحاجة إلى نظام تبريد خارجي ، بالإضافة لهذه الميزات، ونتيجة للغمُر الكامل فإن المضخة لا تستهلك أي طاقة لحسب الماء. النوع الثاني هو المضخات التي تستخدم عنفة واحدة وهي ذات تصميم بسيط، وغالباً تستخدم لتطبيقات صغيرة مثل المضخات الغاطسة في المكيفات الصحراوية Air Cooler Based Water ، والمضخات التي تتوارد في الحائط العائم لأغراض النوافير وأحواض الأسماك وفي المسابح، حيث لا تحتاج إلى وضع الماء لارتفاعات عالية[B].



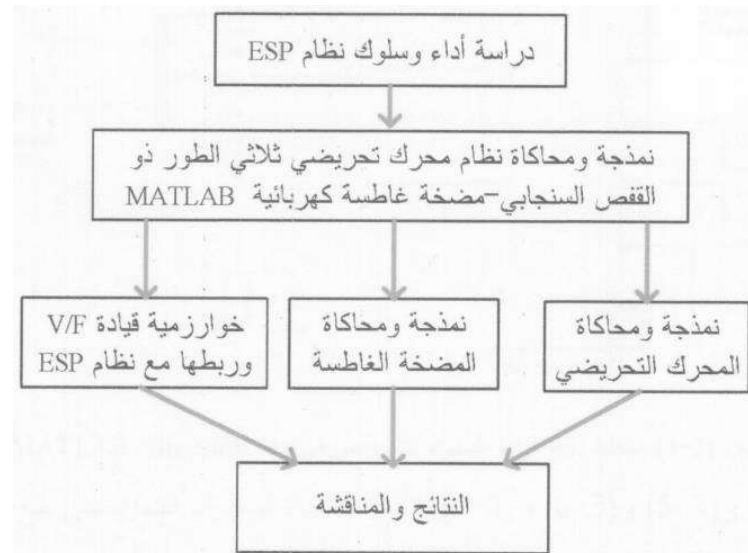
الشكل رقم (1): أنواع المضخات الغاطسة الكهربائية **ESP**

2- أهمية البحث:

دراسة وبناء خوارزمية قيادة لمحرك تحريري ثلاثي الطور يقود مضخة غاطسة تغذى من منظومة كهروضوئية بهدف رفع أداء عملها في عملية الضخ المائي وزيادة غزارة الضخ والحصول على نظام ديناميكي في مواجهة التغيرات الحاصلة في الاشعاع الشمسي ودرجة الحرارة، والعمل عند مستويات ضخ منخفضة دون توقف مع حدوث تغيرات مفاجئة في الاشعاع الشمسي.

3- دراسة أداء نظام محرك تحريري ثلاثي الطور- مضخة غاطسة **IM-ESP**:

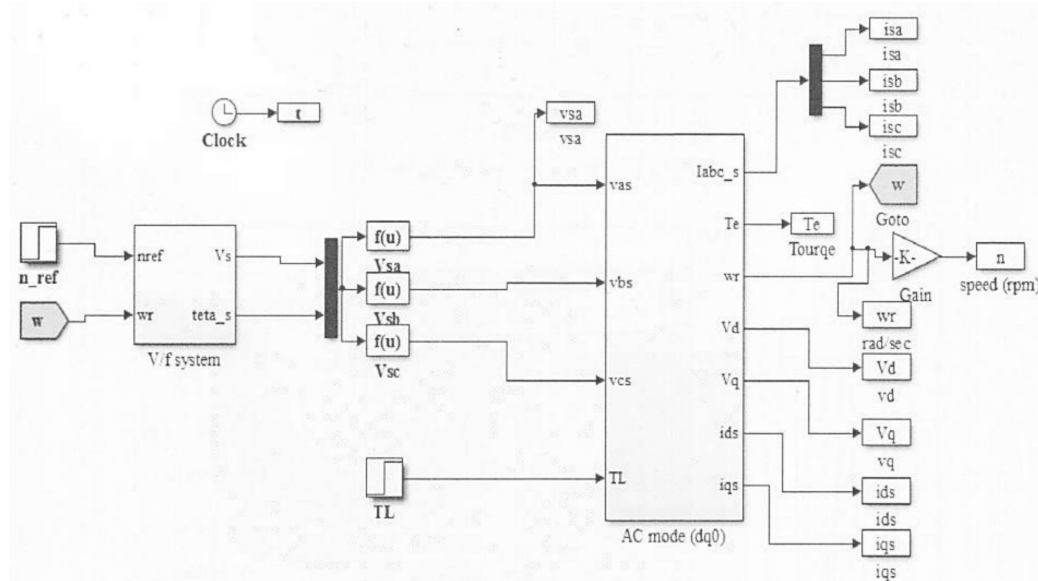
من أجل دراسة خصائص وأداء نظام **ESP**، يجب أولاً القيام بنمذجة ومحاكاة نظام محرك تحريري ثلاثي الطور ذو القص السنجابي- مضخة غاطسة كهربائية باستخدام **MATLAB**، ثم استخدام خوارزمية القيادة V/f لدراسة أداء هذا النظام تحت ظروف تشغيل مختلفة. تمر منهجهية النمذجة والمحاكاة هذه بالخطوات الموضحة في الشكل(2):



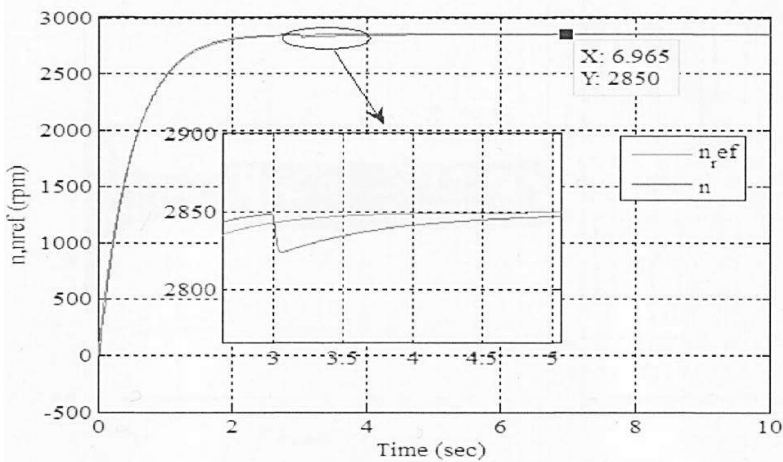
الشكل رقم (2): منهجية دراسة أداء نظام **ESP** ياستخدام بيئه النماذج والمحاكاه

-4- نماذج ومحاكاه المحرك التحربي ثلاثي الطور مع نظام قيادة باستخدام خوارزمية V/f

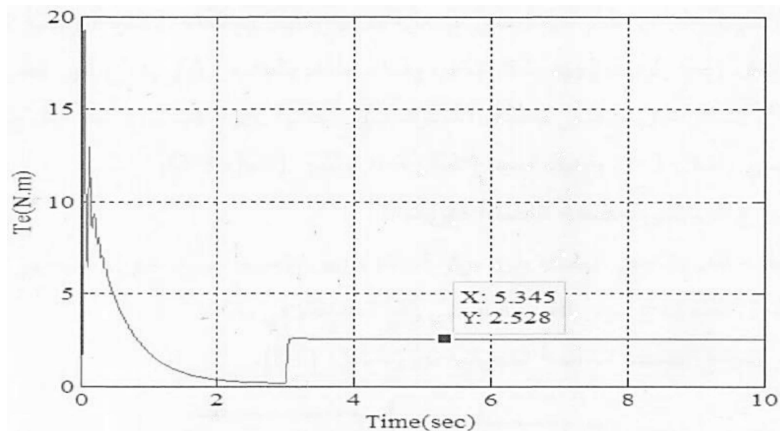
اعتماداً على النموذج الرياضي للمحرك التحربي ثلاثي الطور ذو القفص السنجابي، أجرينا محاكاه للمحرك باستخدام **MATLAB / Simulink** واستخلصنا إشارات الخرج، أما نظام قيادة المحرك لتنظيم سرعة المحرك فتم إنشائه بالاعتماد على خوارزمية V/f ضمن بيئه **MATLAB**.



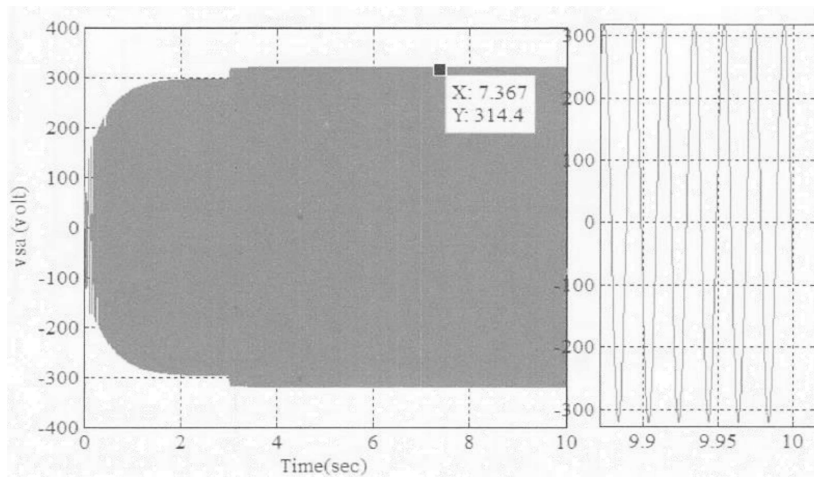
الشكل رقم (3): مخطط نظام قيادة المحرك التحربي في بيئه **MATLAB/Simulink**



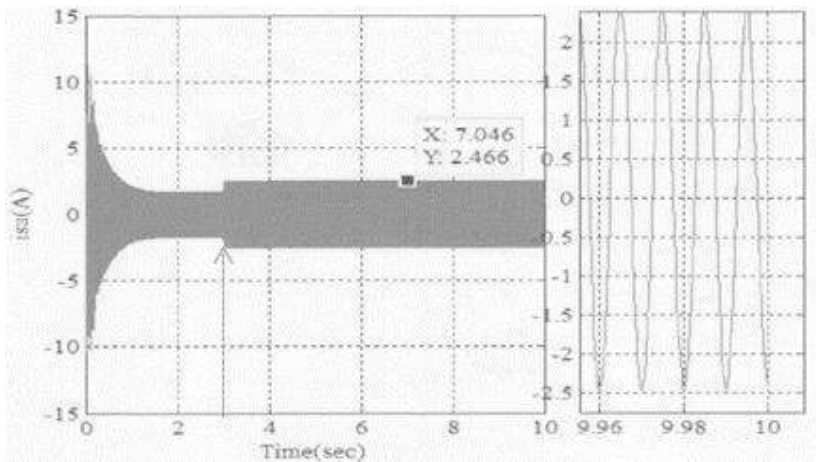
الشكل رقم (4): استجابة النظام في حالة تنظيم السرعة عند القيمة 2850 rpm



الشكل رقم (5): العزم الكهرومغناطيسي للمحرك



الشكل رقم (6): جهد الطور a للمotor



الشكل رقم (7): a تيار الطور a للمحرك

نلاحظ من الشكل (4) أن نظام القيادة حقق استجابة سريعة ودقيقة وملاحة الإشارة المرجعية المطلوبة. كما نلاحظ من الشكل (6) ازدياد الجهد بشكل ناعم، وهذا سيساهم بالحد من تيار الإقلاع الكبير كما هو مبين في الشكل (7)، حيث يستقر النظام حتى لحظة تحمل المحرك في اللحظة 3sec، ونلاحظ هنا ارتفاع في قيمة العزم الكهرومغناطيسي (الشكل 5) وازدياد الجهد (الشكل 6) والتيار (الشكل 7) لكي يلبي الطلب على الحمل [C].

5- النموذج الرياضي لمضخة غاطسة كهربائية:

المضخة الغاطسة الكهربائية هي مضخة طرد مركبة ذات مراحل متعددة، يقودها محرك تحريري ثلاثي الطور بأحد نوعيه ذو الدوار الملفوف أو ذو الدوار القفص السنجمابي وهو المستخدم في بحثنا هذا.

تم نمذجة المحرك التحريري في بيئة Matlab/Simulink عن طريق نموذج شعاع فيض الدوار وشعاع تيار الثابت كمتغيرات حالة باستخدام المعادلة (1)[D].

$$\begin{bmatrix} \dot{i}_{sa}^k \\ \dot{i}_{sb}^k \\ \dot{\Phi}_{ra}^k \\ \dot{\Phi}_{rb}^k \end{bmatrix} = \begin{bmatrix} -a_5 & \omega_k & a_3 & a_4\omega \\ -\omega_k & -a_5 & -a_4\omega & a_3 \\ a_2 & 0 & -a_1 & \omega_k - \omega \\ 0 & a_2 & -\omega_k + \omega & -a_1 \end{bmatrix} \begin{bmatrix} i_{sa}^k \\ i_{sb}^k \\ \Phi_{ra}^k \\ \Phi_{rb}^k \end{bmatrix} + \begin{bmatrix} b & 0 \\ 0 & b \\ 0 & 0 \\ 0 & 0 \end{bmatrix} \begin{bmatrix} V_{sa}^k \\ V_{sb}^k \end{bmatrix} \quad (1)$$

$$a_1 = \frac{R_r}{L_r}, \quad a_2 = \frac{L_m R_r}{L_r}, \quad a_3 = \frac{L_m R_r}{\sigma L_s L_r^2}, \quad a_4 = \frac{L_m}{\sigma L_s L_r}, \quad a_5 = \frac{L_r^2 R_s + L_m^2 R_r}{\sigma L_s L_r^2}, \quad b = \frac{1}{\sigma L_s}, \quad \sigma = 1 - \frac{L_m^2}{(L_s L_r)}$$

حيث أن: $I_{s\alpha}^k$ يمثل تيار الثابت وفق المحور α ، $I_{s\beta}^k$ يمثل تيار الثابت وفق المحور β ، $\emptyset_{s\beta}^k$ يمثل فيض الثابت وفق المحور β ، σ يمثل عامل التسرب المغناطيسي.

أما علاقة علقة العزم الكهرومغناطيسي فتعطى بالعلاقة (2):

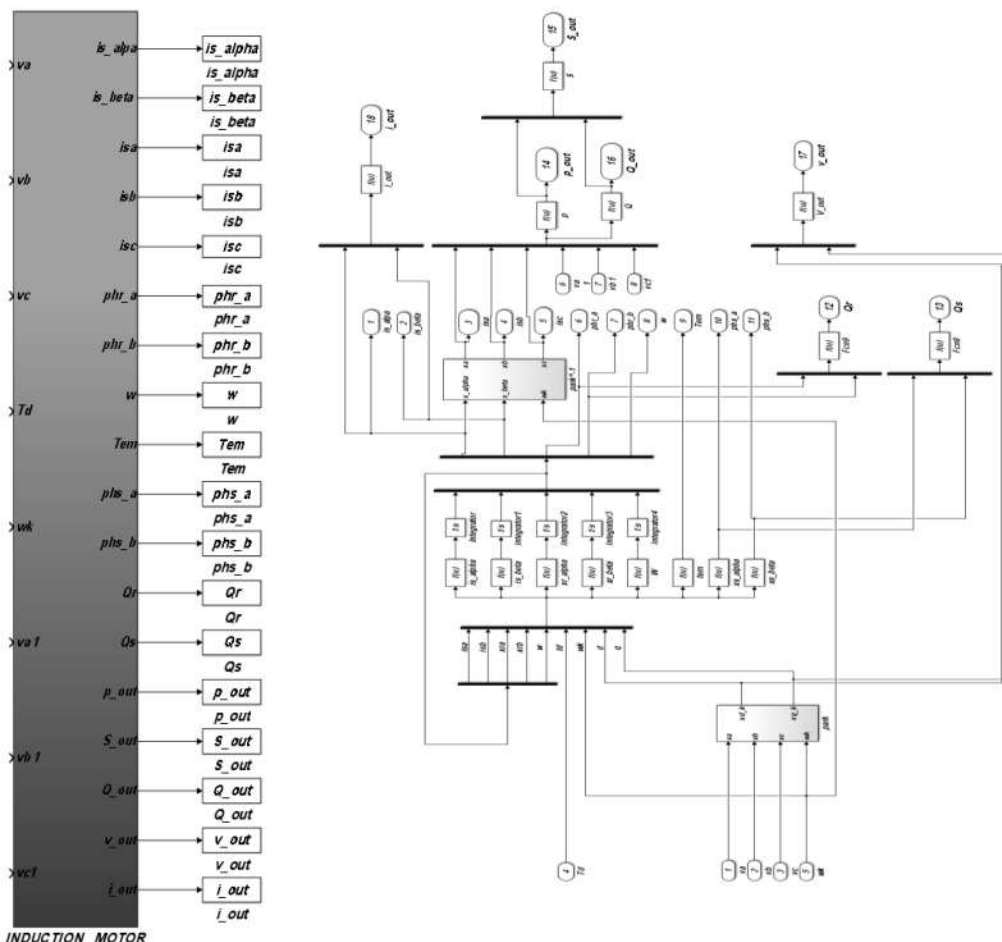
$$T_{em} = \frac{PL_m}{L_r} (\Phi_{ra}^k i_{s\beta}^k - \Phi_{rb}^k i_{sa}^k) \quad (2)$$

ومن العلاقة الديناميكية التي تربط العزم المحصل كتابع للسرعة الميكانيكية $[H]$ ، نجد:

$$J \frac{d\omega}{dt} = p(T_{em} - T_L) \quad (3)$$

حيث: T_L يمثل عزم الحمولة والتي تمثل المضخة ويعطى بالعلاقة $T_L = K * w^2$ ، ويبيين الشكل التالي نموذج

المحرك التحريري في بيئة Matlab/Simulink



الشكل رقم (8): المخطط الصندي والداخلي لنمذجة المحرك التحريري ثلاثي الطور القائد للمضخة

6- قيادة المحرك التحريضي باستخدام خوارزمية V/f

تعتبر جملة المحرك التحريضي من أصعب جمل التحكم في الحقل الأكاديمي والصناعي نظراً للاخطية العالية التي يمتلكها المحرك، إن خوارزميات قيادة المحرك التحريضي ذات الحلقة المفتوحة البسيطة التي تعتمد قانون V/f هي كافية ومناسبة إذا كان على المحرك أن يعمل عند سرعة وحمولة ثابتتين مثل التوربينات الهوائية والمضخات وغيرها من الأحمال التي لا يتطلب عملها تغيرات واسعة في السرعة أو الحمولة، ينص قانون (V/f) أن نسبة طولية شعاع جهد الثابت على تردد المقادير الكهربائية في الثابت تساوي لطويلة شعاع فيض الثابت كما تبين العلاقة التالية[E]:

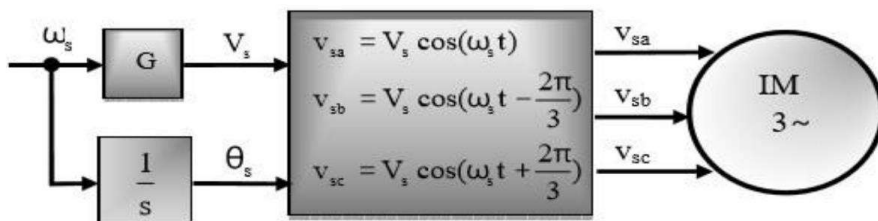
$$\frac{V_s}{\omega_s} = \Phi_s = const \quad (4)$$

هي علاقة سلمية تبين أنه للحفاظ على قيمة ثابتة للفيض المغناطيسي فإن تغيرات السرعة يجب أن تكون دائماً متبوعة بتغيرات بمطال الجهد، لأن عزم المحرك يتناسب مع مربع طولية شعاع فيض الثابت. يتم بناء خوارزمية V/f بطلب سرعة مرجعية يتم على أساسها توليد الجهد المطلوب وذلك من خلال معادلات الجهد التالية[F]:

$$V_a = V_m * \sin(\omega t)$$

$$V_b = V_m * \sin(\omega t - \frac{2\pi}{3})$$

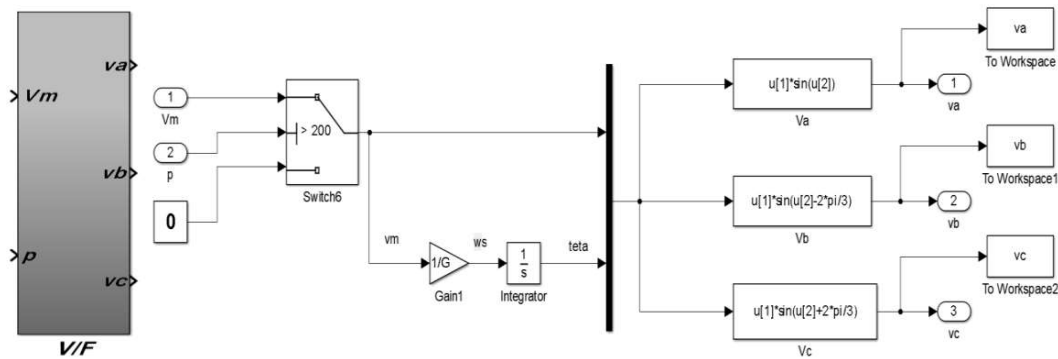
$$V_c = V_m * \sin(\omega t + \frac{2\pi}{3})$$



الشكل رقم (9): خوارزمية V/f في نظام الحلقة المفتوحة

يبين الشكل السابق مخطط خوارزمية V/f لنظام قيادة محرك تحريضي ثلاثي الطور في نظام الحلقة المفتوحة، من المعلوم أنه يتتوفر قيمة مطال الجهد وزاويته فإنه يمكن باستخدام العلاقات الموضحة داخل الصندوق في الشكل (9) توليد الجهد الثلاثي المراد تطبيقها على المحرك المدروس، إن قيمة مطال الجهد يمكن حسابها من علاقة V/f إذا علمت قيمة السرعة الزاوية ω_s والزاوية θ_s يتم الحصول عليها من مكاملة السرعة[I].

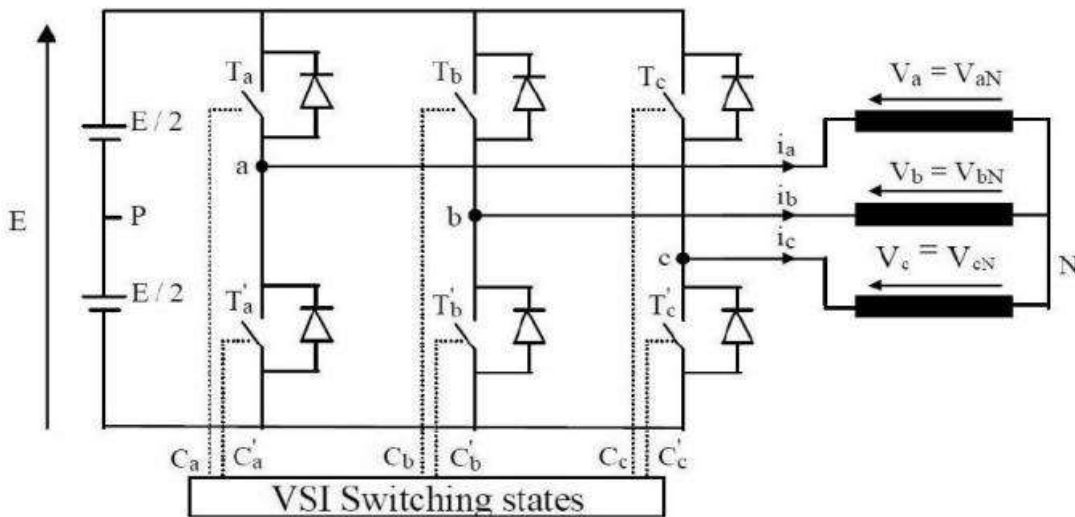
يبين الشكل التالي نمذجة خوارزمية V/f في نظام الحلقة المفتوحة مع عدم تشغيل المحرك قبل بلوغ الاستطاعة المستجدة من الألواح الكهروضوئية 200watt وهي الحد الأدنى لبدء دوران المحرك.



الشكل رقم (10): المخطط الصنديقي والداخلي لنموذج خوارزمية V/f باستخدام بيئة Matlab/Simulink

7- قالبة الجهد ثلاثية الطور المغذية لمحرك:

في دارات قيادة آلات التيار المتباوب تعمل القالبة الإلكترونية كمنبع جهد ثلاثي الطور للمحرك التحربي ذي تردد وجهد متغيرين، تعتبر عنصر أساسى من عناصر النظام فهي عبارة عن مرحلة وسيطة بين نظام القيادة والمotor، بحيث تقوم بتحويل الجهد المستمر القائم من الألواح إلى جهد متقطع بقيم معدلة جيبياً [G] .

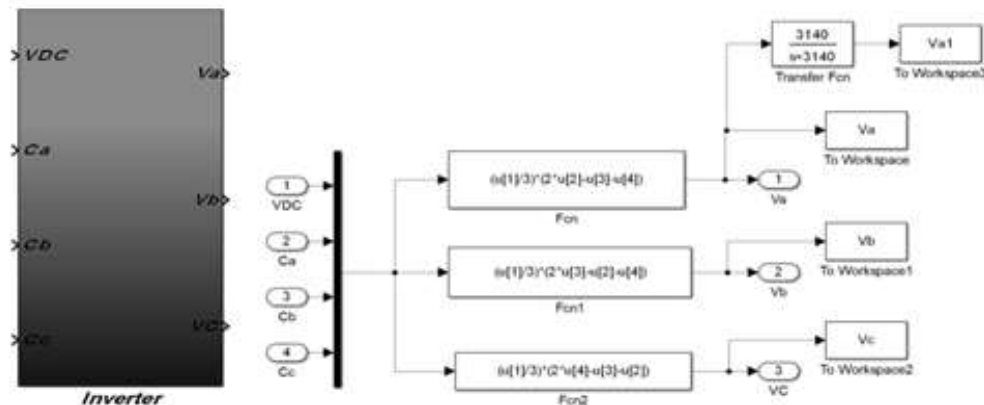


الشكل رقم (11): بنية قالبة الجهد ثلاثية الطور

تعطى علاقات جهد الطور على خرج القالبة بالنسبة لنقطة N بالعلاقات التالية:

$$\begin{aligned} V_{a-N} &= \frac{E}{3} \times (2C_a - C_b - C_c) \\ V_{b-N} &= \frac{E}{3} \times (2C_b - C_a - C_c) \\ V_{c-N} &= \frac{E}{3} \times (2C_c - C_a - C_b) \end{aligned} \quad (5)$$

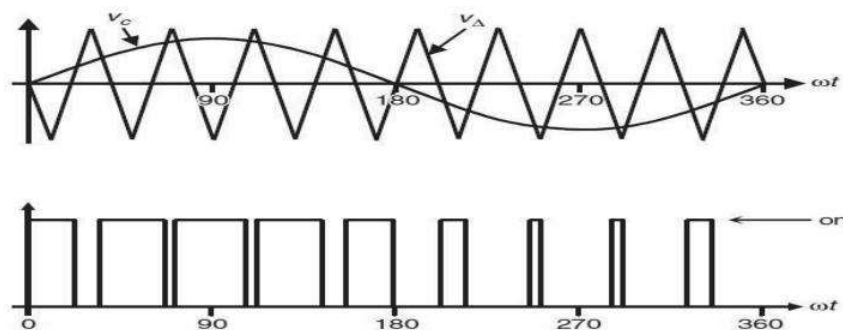
:Matlab/Simulink يبين الشكل (12) مخطط بناء القالبة ضمن بيئة



الشكل رقم (12): قالبة الجهد ثلاثية الطور

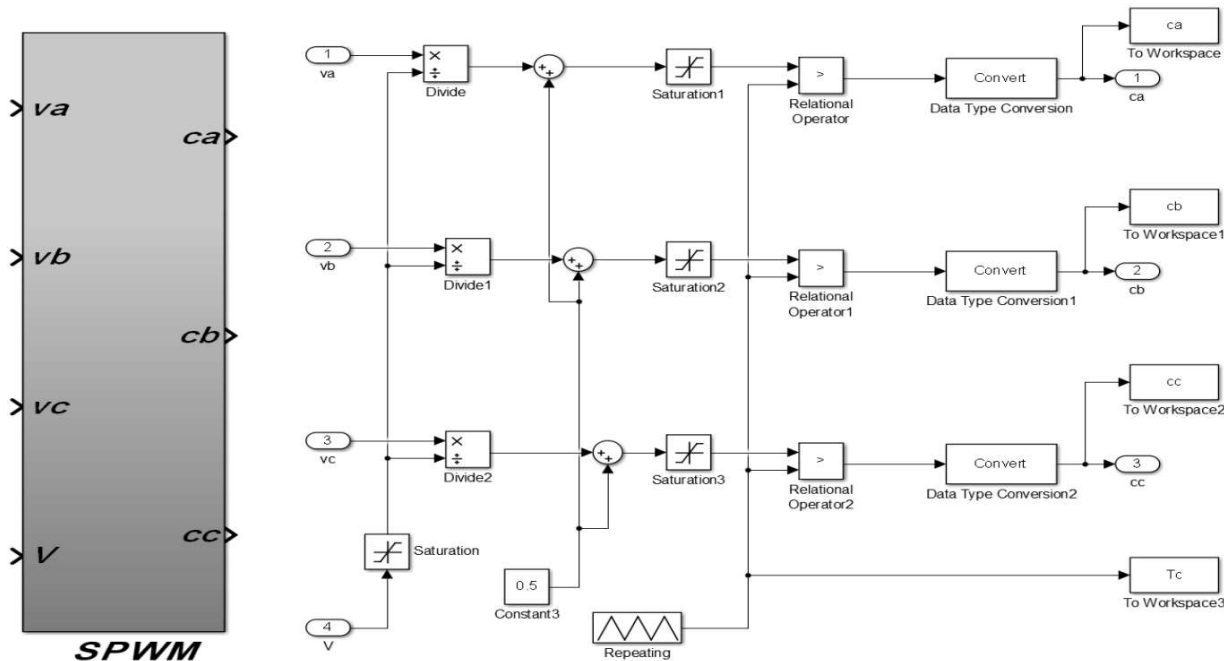
8- طريقة تعديل عرض النبضة الجيبية :SPWM

تعتمد هذه الطريقة على مقارنة ثالث إشارات جيبية مرجعية مزاحة عن بعضها بزاوية 120 درجة مع إشارة حاملة مثلثية أو سن منشار.



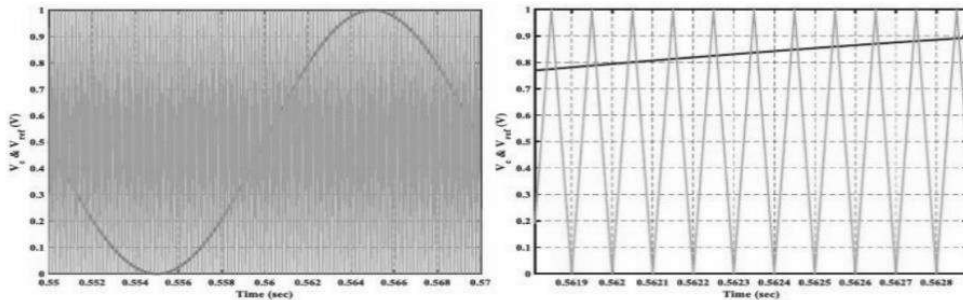
الشكل رقم (13): توليد النبضات بطريقة تعديل عرض النبضة الجيبية

يفضل اختيار الإشارة المثلثية لأن النسبة تكون متاظرة بالنسبة لمركز الإشارة الحاملة أما بالنسبة لإشارة سن المنشار فتكون النسبة مزاحة يميناً أو يسارياً بالإضافة لكون المحتوى الهاارمونيكي أقل في حال استخدام الإشارة المثلثية منه عند استخدام إشارة سن المنشار، إن تردد الإشارة الحاملة يجب أن تكون أكبر ب 10 مرات على الأقل من الإشارة المرجعية وأصغر من التردد الأعظمي الممكن تطبيقه على المفاتيح الإلكترونية المستخدمة .



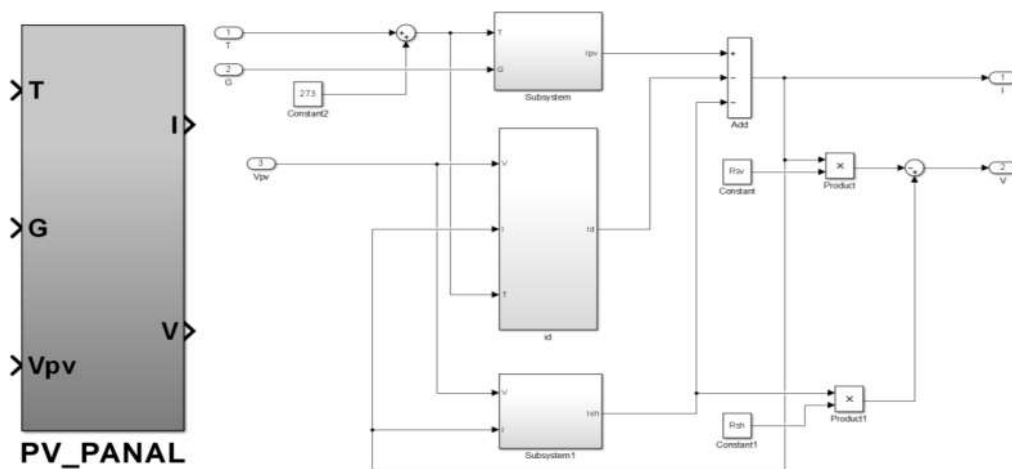
الشكل رقم (14): المخطط الصنودقي والداخلي لتعديل عرض النسبة الجيبية SPWM

يبين الشكل (14) طريقة النمذجة لتقنية SPWM ، حيث يتم إدخال الإشارات المرجعية القادمة من خرج المنظم V/f ثم نقوم بالتقسيم على جهد الوصلة المستمرة E ، حيث $E = 2V_{Smax}$ وبالتالي نحصل على إشارة مرجعية مطالها من -0.5 إلى $+0.5$ - بجمع هذه الإشارة مع القيمة 0.5 نحصل على الإشارة المرجعية في النظام الواحد أي مطالها من 0 إلى 1 ، تتم مقارنة الإشارات الناتجة مع إشارة حاملة مثلثية، نتيجة هذه المقارنة نوجد نبضات قدح مفاتيح القالبة للحصول على صورة الجهد الواجب تطبيقها على المحرك.



الشكل رقم (15): إشارة الجهد المرجعية وإشارة المثلية الحاملة

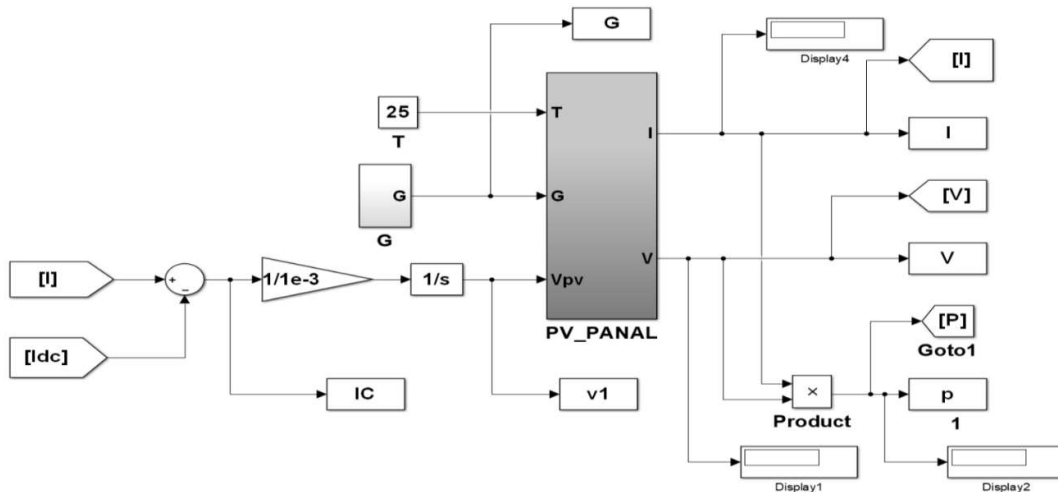
9- نموذج اللوح الشمسي ضمن بيئة Matlab/Simulink



الشكل رقم (16): المخطط الصندوقى والداخلى لنموذج اللوح الشمسي

نلاحظ من المخطط الصندوقى للوح الشمسي أنه يحتاج إلى ثلاثة مدخلات وهي شدة الشعاع الشمسي ودرجة حرارة اللوح وجهد خرج اللوح ولكن من أجل أن تكون عملية النمذجة صحيحة مشابهة ل الواقع العملي تم إضافة مكثف على خرج مصفوفة الألواح بحيث إذا تم استجرار تيار من المنظومة الشمسية سيؤدي إلى تغير الجهد على طرفي المنظومة (علمًا أنه لا يتواجد في الواقع العملي)، حيث جهد خرج الألواح يعطى بالعلاقة التالية:

$$V_{PV} = \frac{1}{C} \int (I_{PV} - I_L) * dt \quad (6)$$

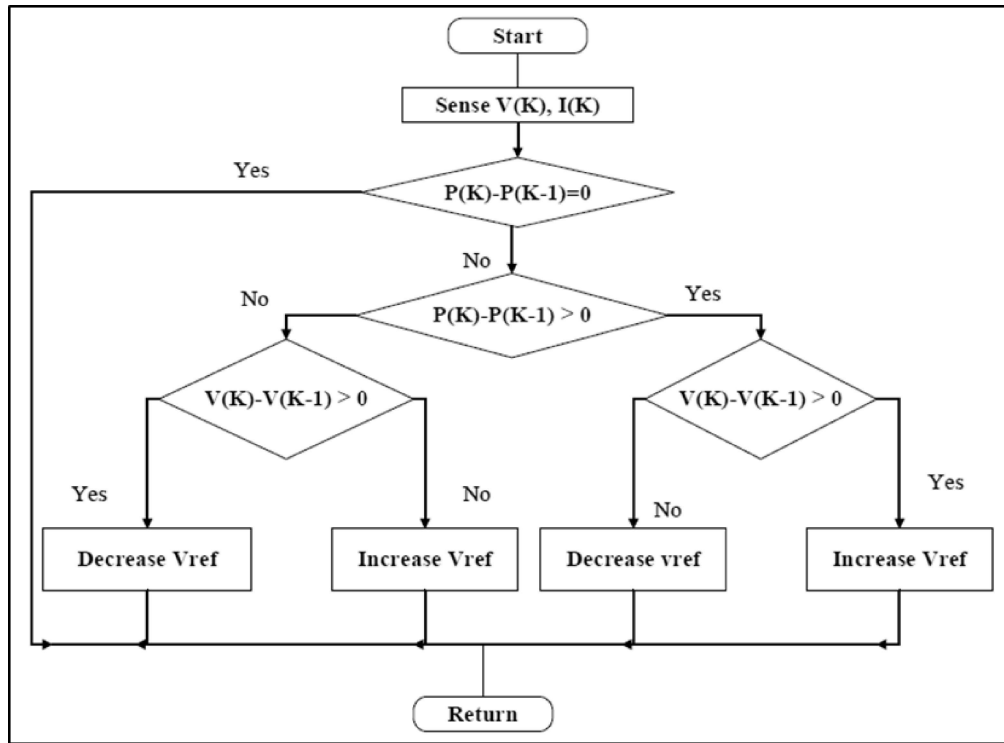


الشكل رقم (17): نموذج PV_Panels مع وجود مكثف على خرج الألواح

10- بناء خوارزمية الملاحقة للاستطاعة العظمى:

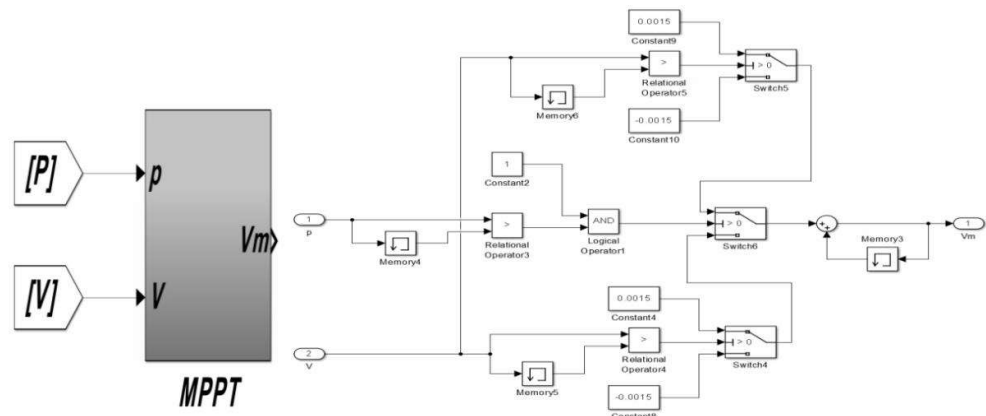
إن اللوح الشمسي المثالي يحول فقط من 30%~40% من شدة الإشعاع الشمسي إلى طاقة كهربائية، لذلك فإن تقنيات MPPT تستخدم لتحسين مردود اللوح الشمسي، كما يوجد طرق عديدة من أجل الحصول على استطاعة عظمى من ألواح الطاقة الشمسية.

تم استخدام طريقة المراقبة والاضطراب التي تعتبر من أبسط الطرق للحصول على نقطة الاستطاعة العظمى، نحتاج لتنفيذ هذه الطريقة إلى حساسين لقياس تيار وجهد الألواح الشمسية كما أن تكلفة بنائهما وتطبيقاتها أقل مقارن بالطرق الأخرى، يمكن بناء هذه الخوارزمية اعتماداً على المخطط النهجي الذي يبين في الشكل التالي:



الشكل رقم (18): المخطط النهجي لخوارزمية MPPT بطريقة المراقبة والاضطراب

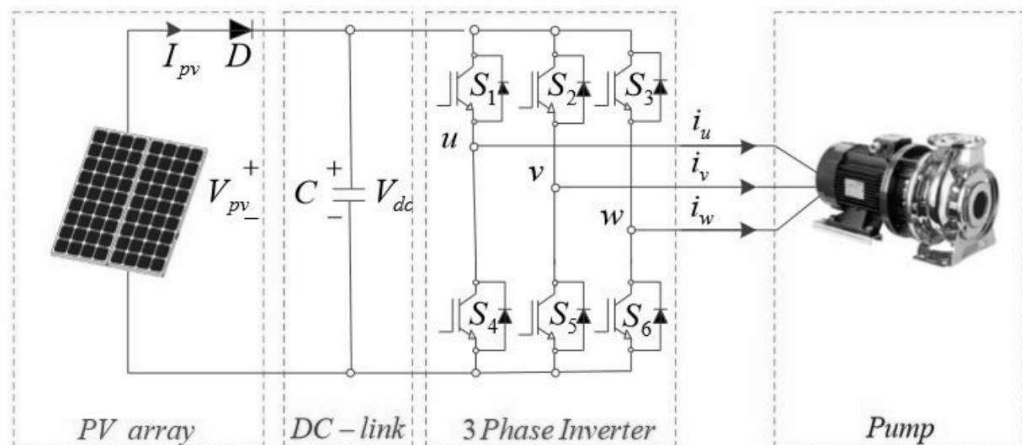
يبين الشكل السابق خوارزمية MPPT بطريقة المراقبة الاضطراب حيث أن خرج الخوارزمية هي قيمة مطال جهد الطور V_m التي تشكل دخل نظام f/V . تعتمد هذه الطريقة على تغيير جهد نقطة عمل اللوح الشمسي باتجاه معلوم زيادةً أو نقصاناً عن طريق تغيير قيمة الخرج، من ثم قياس تغير الاستطاعة المقدمة من اللوح الشمسي إذا زادت الاستطاعة هذا يعني أن تغير جهد نقطة العمل في الاتجاه الصحيح نحو نقطة الاستطاعة العظمى. وبالتالي فإن الخطوة المستقبلية التالية لجهد نقطة عمل اللوح الشمسي يجب أن تكون في الاتجاه ذاته أي زيادة للجهد. أما إذا نقصت فهذا يعني أن الخطوة المستقبلية لجهد نقطة عمل اللوح الشمسي يجب أن تكون في الاتجاه المعاكس. وبذلك نعمل على نقل نقطة عمل اللوح الشمسي باتجاه زيادة الاستطاعة حتى تصبح نقطة العمل عند قمة المنحني (PPV, VPV).



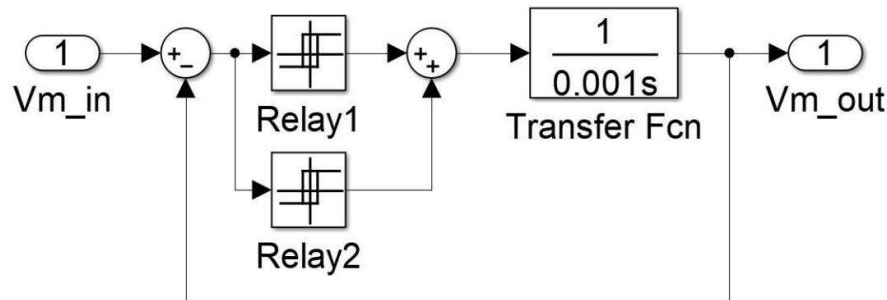
الشكل رقم (19): المخطط الصنديقي والداخلي لخوارزمية MPPT صن MatLab

11- نظام الرى الكهروشمسي المقترن:

نظهر على الشكل التالي نظاماً للري الكهروشمسي الأكثر شيوعاً في الحياة العملية، حيث يتكون من مصفوفة الألواح الشمسية التي توصل فيها الألواح على التسلسلي من أجل الحصول على جهد وصلة مستمرة DC ، والتي هي تشكل دخل الإنفرتر التي تغذي المضخة بجهود ثلاثة الطور ذات جهد وتتردد متناسب مع شدة الشعاع الشمسي، يعتمد مبدأ عمل نظام القيادة للمنظومة على ملاحقة الاستطاعة العظمى تبعاً لتغير درجة الحرارة وشدة الشعاع الشمسي، يكون خرج منظم MPPT عبارة عن قيمة مطال الجهد اللازمة للعمل عند نقطة الاستطاعة العظمى الآنية، يتم إدخال هذه القيمة إلى مدرج الجهد وذلك من أجل تخفيف تيار الإقلاع، خرج مدرج الجهد هو دخل خوارزمية (V/f) التي تقوم بحساب ω وتشكيل الجهد الثلاثي المرجعية لمخطط تعديل عرض النبضة الجيبية، والتي تعطي نبضات القدر لقابلة الجهد ثلاثة الطور، والتي تقوم بدورها بتطبيق الجهد الذي هي صورة عن الجهد المرجعية.



الشكل رقم (20): نظام الرى الكهروشمسي المقترن

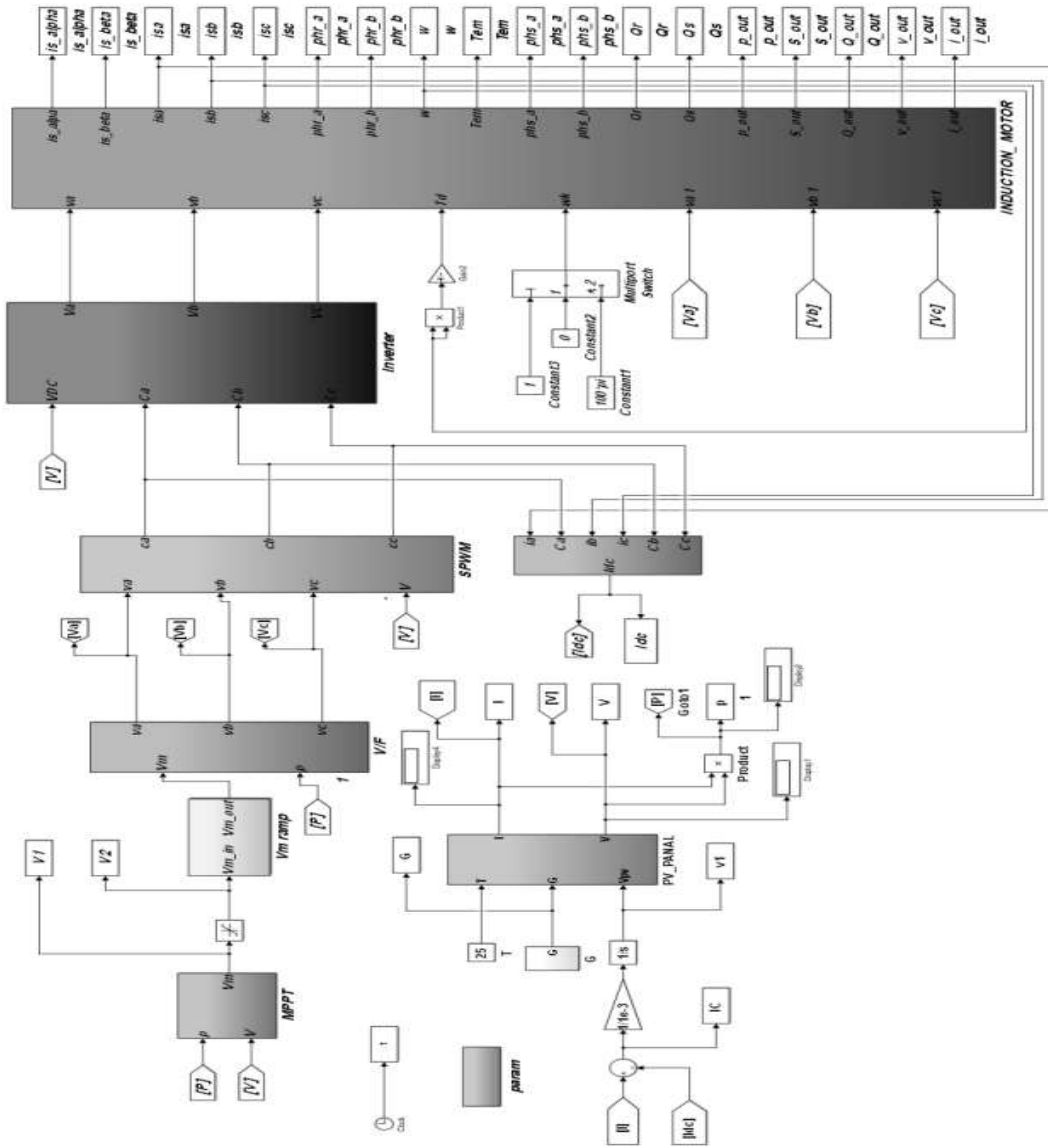


الشكل رقم (21): مخطط مدرج الجهد

إن التيار I_L هو نفسه تيار الوصلة I_{dc} ، يتم حسابه عن طريق العلاقة (7):

$$I_{dc} = C_a * i_a + C_b * i_b + C_c * i_c \quad (7)$$

حيث أن تيارات المحرك الثلاثية هي C_a, C_b, C_c ونبضات التحكم i_a, i_b, i_c .
 إن شكل تيار الوصلة المستمرة منقطع لذلك لابد من ترسيحه باستخدام ملف في الوصلة المستمرة. تم نمذجة النظام المقترن في بيئة Matlab/Simulink بزمن أخذ عينات $T_s = 10\mu sec$ وتردد التقطيع $f_s = 5 KHZ$ والعمل عند قيمة مختلفة لشدة الشعاع الشمسي عند درجة حرارة ثابتة $T = 25 C^0$.

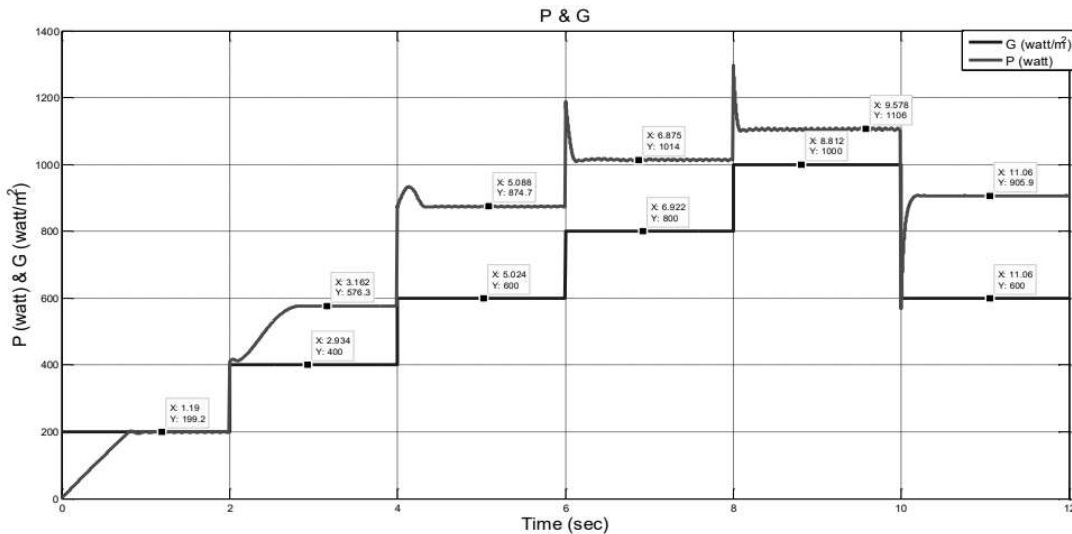


الشكل رقم (22): نموذج نظام الضخ الكهروضوئي المقترن

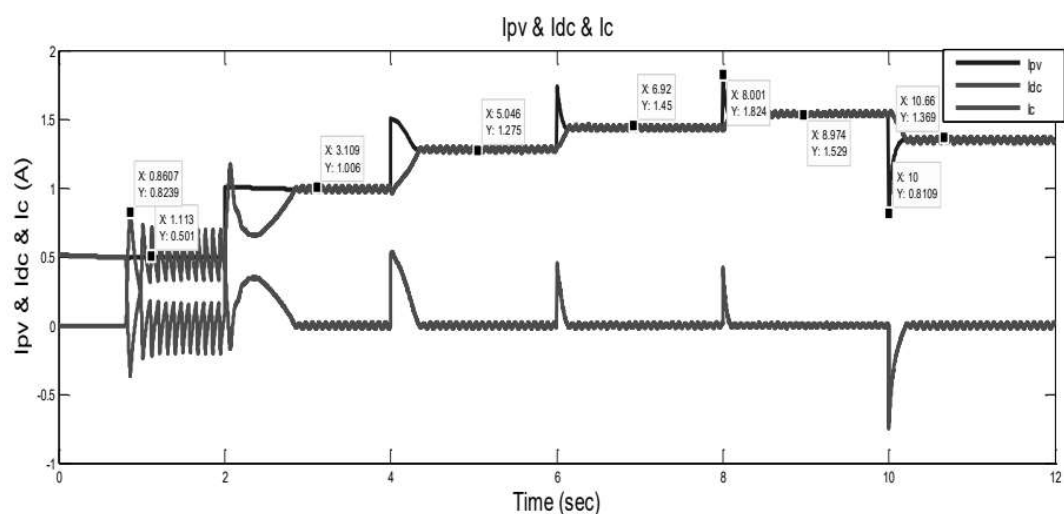
12- نتائج المحاكاة ومناقشتها:

تم زيادة الإشعاع الشمسي بشكل متقطع خلال فترات زمنية من أجل دراسة أداء النظام المدروس حيث تم زيادة الإشعاع بشكل متقطع في بداية تشغيل تكون قيمة الإشعاع $G=200\text{Watt}/\text{m}^3$ وبعد زمن قدره 2Sec يتم زيادة الإشعاع الشمسي بمقدار $200\text{Watt}/\text{m}^3$ ، وهكذا إلى الوصول إلى اللحظة 8Sec يصل قيمة الإشعاع الشمسي إلى القيمة الأعظمية $G=1000\text{Watt}/\text{m}^3$ ، وفي اللحظة 10Sec تم إنفاص الإشعاع بمقدار $400\text{Watt}/\text{m}^3$

وتم تطبيق الحمل بشكل دائم ومتاسب مع السرعة وقد تم الحصول على النتائج التالية:

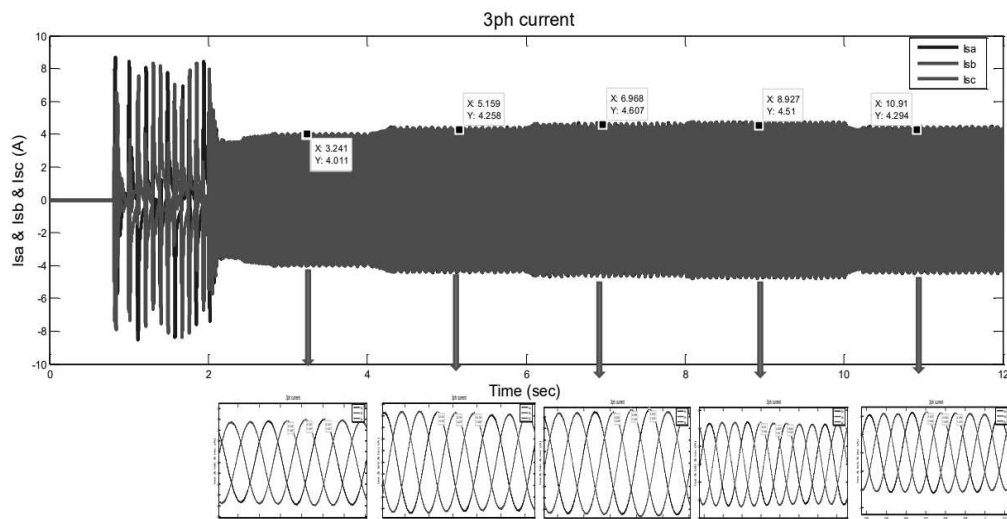


الشكل رقم (23): يوضح تغيرات الإشعاع الشمسي مع تغيرات الاستطاعة الناتجة عن اللوح الشمسي
نلاحظ من الشكل (23) أنه عند زيادة شدة الإشعاع الشمسي تزداد قيمة الاستطاعة التي يمكن للألوان الكهروضوئية تقديمها للمحرك، الذي قيمة دخله الإسمية $P=1100\text{Watt}$ ، وقد قام بسحبها كاملة من الألواح الشمسية، حيث أن هذه الاستطاعة المقدمة قد تصل إلى 1200W أو أكثر قليلاً عند التطبيق العملي وذلك نتيجة عدم مثالية العناصر الإلكترونية في الانفوتر الصناعي (القالبة)، ولكن نحن قمنا بحساب هذه الزيادة وأخذها بعين الاعتبار في حسابات المنظومة الشمسية ولكن لم تظهر في النتيجة لأن Matlab يفترض أن كل العناصر مثالية.

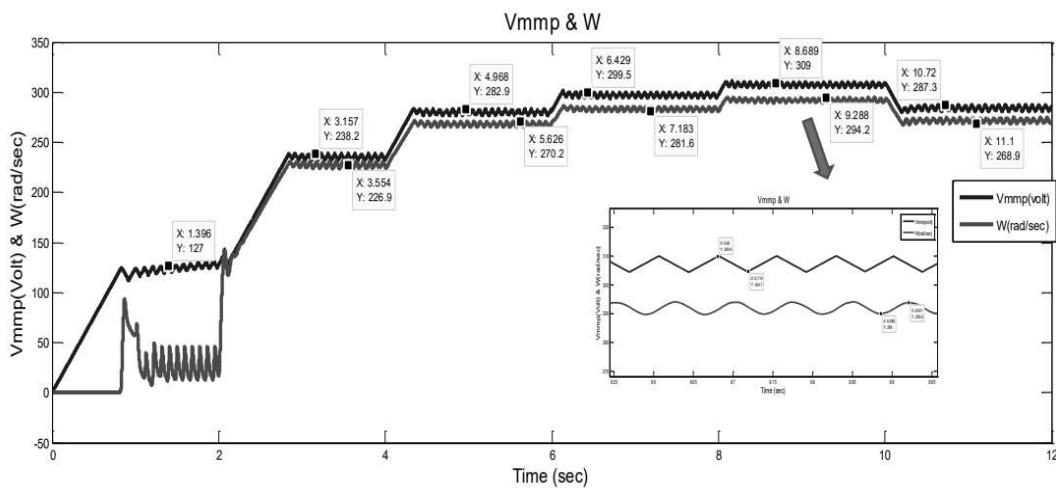


الشكل رقم (24): تيار كل من اللوح الشمسي وتيار الوصلة المستمرة DC وتيار المكثف الموصول على خرج الألواح

يبين الشكل (24) إشارات تيار اللوح وتيار الوصلة المستمرة للمحرك وتيار المكثف حيث نلاحظ أنه لا يوجد أي تجاوز غير مرغوب لتيار الوصلة المستمرة على كامل مجال العمل ونلاحظ زيادة تيار المكثف لفترة قصيرة عند تغير قيمة الإشعاع الشمسي ونقصانه في حالة انفاس قيمة الإشعاع الشمسي وعودته إلى الصفر بعد فترة قصيرة وذلك نتيجة تأقلم المحرك وسحب أعلى من الألواح وزيادة سرعته، ونلاحظ زيادة تيار الألواح مع كل زيادة للإشعاع الشمسي، ونقصان تيار الألواح مع كل نقصان للإشعاع الشمسي، ونلاحظ أن التيار في اللحظة 0 sec إلى اللحظة 2sec مهترء بشدة وذلك لأنه في هذه الفترة يكون المحرك في حالة لامع ويدأ بالإقلال إبتداء من اللحظة 2sec.



الشكل رقم (25): إشارات التيارات الثلاثية للمحرك مع إضافة قيمة التيارات في كل مرحلة زيادة لقيمة الشعاع الشمسي يبين الشكل (25) إشارات التيارات الثلاثية للمحرك التحربي ونلاحظ أن تيار المحرك قد قام بإستجرار تياره الأعظمي $4.51A$ والتي تقابل قيمة فعلية تساوي $3.2A$ ولا يوجد أي تجاوز لقيمة الإسمية في لحظة $8sec$ إلى $10sec$ ، حيث أن هذه الفترة تكون قيمة الإشعاع الشمسي أعظمية $G=1000Watt/m^3$ ، وتتجدر الإشارة إلى أن قيمة التيار في بداية النمذجة ناتجة عن الالحمل للمحرك قبل وصول استطاعة الألواح $200 Watt$.



الشكل رقم (26): إشارة الجهد الناتج عن المنظم MPPT وسرعة المحرك التحريري ثلاثي الطور

يظهر الشكل (26) كل من إشارات الجهد الناتج عن المنظم MPPT وسرعة المحرك التحريري، ونلاحظ أن إشارة السرعة تلاحق إشارة الجهد حيث تزداد قيمة السرعة مع كل زيادة لقيمة الشعاع الشمسي الساقط وقد وصل قيمة الجهد والسرعة إلى قيم اسمية في اللحظة 8sec إلى اللحظة 10sec وذلك في فترة وصول الإشعاع الشمسي إلى القيمة الأعظمية له وهي $G=1000 \text{ Watt/m}^3$ ، وهبوطها نتيجة نقصانه ونلاحظ أيضاً أنه هناك ملاحقة نقطة الاستطاعة العظمى من قبل المنظم MPPT من بداية التشغيل حيث قيمة السرعة قريبة من الصفر وحتى السرعة الاسمية. من البداية نتيجة حالة اللاعمل للمحرك وإنه في جميع الإشارات يوجد اهتزاز للإشارة وذلك نتيجة استخدام خوارزمية MPPT التي تعتمد طريقة الاضطراب والرصد حيث أن هذه الخوارزمية تقوم بلاحقة نقطة الإستطاعة العظمى للألوح الشمسية ولكن تهتر على جانبها ويتم تطبيق الجهد الصادر عن هذه الخوارزمية إلى الخوارزمية V/f التي تقوم بتشكيل الجهد الثلاثي ومن ثم تمريضها على مرحلة تعديل عرض النبضة لتشكيل النبضات التي تطبق على قالبة الجهد الثلاثية التي تعطي قيمة الجهد الحقيقية، ومنها إلى المحرك، ومن أجل تقليل الإهتزازات يجب تقليل خطوة الزيادة والنقصان للخوارزمية المتبعة.

13- النتائج العامة:

في هذا البحث، تم نمذجة المحرك التحريري ثلاثي الطور وبناء نموذج اللوح الشمسي اعتماداً على معادلاته التي تصف سلوكه الفيزيائي، كما قمنا بنمذجة خوارزمية الرصد والاضطراب (P&O)، وذلك من أجل الحصول على أفضل مردود للألوح الشمسية. حيث تم تطبيق خرج المنظم MPPT على خوارزمية V/f ففي نظام الحلقة المفتوحة كون هذه الخوارزمية تقي بالغرض في مثل هذه التطبيقات (تطبيقات مضخات الري)، وهي ذات أداء جيد وكلفة منخفضة وسهلة النمذجة والتطبيق، ومن ثم تم بناء نموذج قالبة الجهد الثلاثية الطور ونموذج تشكيل نبضات القدح عن طريق تقنية تعديل عرض النبضة الجيبية SPWM ، حيث أن هذه القالبة

سوف تطبق جهود ثلاثة الحقيقة على المحرك مما يسبب دورانه وتشكيل حلقة مغلقة في هذه الحالة ما بين قسم التوليد (الألواح الشمسية) والأحمال (المحرك التحريري ثلثي الطور).

المراجع العلمية:

- [A] Sanjeevikumar, P., Grandi, G., Wheeler, P. W., Blaabjerg, F., & Loncarski, J. (2015, June). **A simple MPPT algorithm for novel PV power generation system by high output voltage DC–DC boost converter.** In *2015 IEEE 24th International Symposium on Industrial Electronics (ISIE)* (pp. 214–220). IEEE.
- [B] Mitkumar Bhimrao Salunkhe, “**A Review on Improvement of Efficiency of Centrifugal Pump Through Modifications in Suction Manifold**”, International Journal of Innovations in Engineering Research and Technology Volume 2, Issue 12, Dec.–2015
- [C] Shaw, P. (2019). **Modelling and analysis of an analogue MPPT-based PV battery charging system utilising dc–dc boost converter.** *IET Renewable Power Generation*, 13(11).
- [D] Beriber, D., & Talha, A. (2020, May). **MPPT techniques for PV systems.** In *4th International conference on power engineering, energy and electrical drives* (pp. 1437–1442). IEEE.
- [E] Belgacem, F. et al. (2022) ‘**Optimization of photovoltaic water pumping system based on BLDC motor for agricultural irrigation with different MPPT methods**’, *Periodica Polytechnica Electrical Engineering and Computer Science*, 66(4), pp. 315–324. doi:10.3311/ppee.20140.
- [F] Shukla, S. et al. (2022) ‘**A new analytical MPPT-based induction motor drive for solar PV water pumping system with battery backup**’, *IEEE Transactions on Industrial Electronics*, 69(6), pp. 5768–5781. doi:10.1109/tie.2021.3091929.
- [G] Sharma, R., Sharma, S. and Tiwari, S. (2020) ‘**Design optimization of solar PV water pumping system**’, *Materials Today: Proceedings*, 21, pp. 1673–1679. doi:10.1016/2019.11.322.
- [H] Gevorkov, L., Domínguez-García, J.L. and Romero, L.T. (2022) ‘**Review on solar photovoltaic-powered pumping systems**’, *Energies*, 16(1), p. 94. doi:10.3390/en16010094.

- [I] Vanaja, D.S. *et al.* (2021) ‘Investigation and validation of solar photovoltaic-fed modular multilevel inverter for marine water-pumping applications’, *Electrical Engineering*, 104(3), pp. 1163–1178. doi:10.1007/s00202-021-01370-x.